

## پیش‌بینی ظرفیت باربری نهایی شمع‌های تحت اثر بار محوری به کمک ماشین بردار پشتیبان (SVM\*)

علیرضا کردجزی<sup>(۱)</sup>

فریدون پویانژاد<sup>(۲)</sup>

**چکیده** پیش‌بینی ظرفیت باربری شمع‌های تحت اثر بار محوری یکی از مسائل اساسی در مهندسی ژئوتکنیک می‌باشد و تاکنون روش‌های مختلفی برای ارزیابی آن ارائه شده است. کارآبی روش‌های یادگیری ماشین در ارزیابی پدیده‌های ژئوتکنیکی در پژوهش‌های گوناگونی ذکر شده است. از جمله روش‌های یادگیری ماشین می‌توان به روش ماشین بردار پشتیبان (SVM) اشاره کرد. در این مقاله از یک مدل ماشین بردار پشتیبان مبتنی بر داده‌های آزمایش نفوذ مخروط (CPT) برای ارزیابی ظرفیت باربری نهایی شمع‌های تحت اثر بار محوری استفاده شده است. داده‌های مورد استفاده در این پژوهش، از مقالات منتشر شده، استخراج شده است و این داده‌ها شامل نتایج آزمون بارگذاری استاتیکی شمع در مقیاس واقعی، نتایج آزمایش نفوذ مخروط (CPT) در خاک محل و خواص هندسی شمع می‌باشد. با مقایسهٔ نتایج به دست آمده از مدل ارائه شده و مقادیر واقعی، کارایی مناسب مدل تأیید می‌شود. در نهایت با تحلیل حساسیت، اثر هر یک از متغیرهای ورودی مدل نیز مورد بررسی قرار می‌گیرد.

**واژه‌های کلیدی** آزمایش بارگذاری استاتیکی شمع، آزمایش نفوذ مخروط، ظرفیت باربری نهایی شمع، ماشین بردار پشتیبان.

### Prediction of Ultimate Bearing Capacity of Axially Loaded Piles Using a Support Vector Machine

A. Kordjazi

F. Pooya Nejad

**Abstract** Bearing capacity prediction of axially loaded piles is one of the most important problems in geotechnical engineering practices, with a wide variety range of methods which have been introduced to forecast it accurately. Machine learning methods have been reported by many contemporary researches with some degree of success in modeling geotechnical phenomena. In this study, a fairly new machine learning method known as Support Vector Machine (SVM) has been used to develop a model to approximate the ultimate bearing capacity of axially loaded piles, based on Cone Penetration Test (CPT) data. The utilized dataset obtained from published literature contains full scale static load test and CPT results and pile geometry for each sample. Additionally, sensitivity analysis of the model respect to each input parameter has been investigated. Finally, a comparison between actual values and predicted bearing capacity confirms efficiency of the developed model.

**Keywords** Static pile load test, Cone penetration test(CPT), Ultimate bearing capacity, Support vector machine.

★ تاریخ تصویب مقاله ۹۱/۰۱/۲۶ و تاریخ دریافت نسخهٔ نهایی اصلاح شده ۹۱/۰۳/۳

(۱) دانشجوی کارشناسی ارشد مکانیک خاک و پی، دانشکده مهندسی، دانشگاه فردوسی مشهد.

(۲) نویسندهٔ مسؤول: استادیار گروه عمران، دانشکده مهندسی، دانشگاه فردوسی مشهد.

## مقدمه

شمع‌ها شالوده‌هایی برای انتقال بارهای ناشی از سازه به لایه‌های تحتانی خاک هستند و عمل کرد صحیح آن‌ها به طور مستقیم بر عمل کرد سازه‌ی بنا شده بر این اجزا مؤثر است. از دیدگاه ژئوتکنیکی، ظرفیت باربری شمع‌ها یکی از مهم‌ترین پارامترهای ارزیابی عمل کرد شمع‌ها به شمار می‌آید. اگرچه پیش‌بینی ظرفیت باربری شمع‌ها به علت وجود عوامل گوناگون و متنوعی که در ظرفیت باربری مؤثر هستند و عدم قطعیت‌های آن‌ها، مسأله‌ی دشواری است [1]. تاکنون پژوهش‌های زیادی منتشر شده است که با به کارگیری روش‌های تجربی و یا تئوری راه حل‌هایی برای پیش‌بینی این کمیت در انواع شمع‌ها ارائه داده‌اند. بسیاری از روش‌های موجود با در نظر گرفتن فرضیاتی راجع به عوامل مؤثر در ظرفیت باربری شمع، مسأله را ساده کرده‌اند [2]. به دلیل پیچیدگی رفتار شمع در خاک عملاً هیچ‌یک از روش‌های ارائه شده، سازگاری قابل توجهی در پیش‌بینی دقیق رفتار شمع‌ها ندارند. در نتیجه، روش‌های دیگری مورد نیاز می‌باشد تا بر محدودیت‌های روش‌های موجود غلبه کند و دقت کافی در پیش‌بینی ظرفیت باربری داشته باشد.

در دهه‌های اخیر پیشرفت سریع سیستم‌های پردازش اطلاعات، پژوهش‌های مهندسی را به سمت استفاده از سیستم‌های هوشمند با کارایی بالا برای مدل‌سازی پدیده‌های تجربی سوق داده است. از این‌رو، گستره‌ی وسیعی از روش‌های یادگیری ماشین در مدل‌سازی پدیده‌های ژئوتکنیکی با موفقیت مورد استفاده قرار گرفته‌اند. روش شبکه‌های عصبی مصنوعی، نمونه‌ای از این روش‌ها می‌باشد که کارایی آن‌ها در گسترش مدل‌های مسائل مهندسی ژئوتکنیک در مقالات گوناگون تأیید شده است [2-6]. روش ماشین باردار پشتیبان (Support Vector Machine1) یا SVM نیز از روش‌های نسبتاً جدید یادگیری ماشین است و با تکیه بر تئوری یادگیری آماری Vapnik نتایج

خوبی در مدل‌سازی پدیده‌های مهندسی ژئوتکنیک داشته است [7-10].

در این مقاله از ماشین باردار پشتیبان به همراه نتایج حاصل از آزمایش نفوذ مخروط (CPT) برای پیش‌بینی ظرفیت باربری نهایی شمع‌های تحت اثر بار محوری استفاده شده است. اهداف این پژوهش عبارتند از:

۱. ارائه و گسترش مدل ماشین باردار پشتیبان برای پیش‌بینی ظرفیت باربری نهایی شمع‌های منفرد تحت اثر بار محوری.
۲. ارزیابی عمل کرد مدل ارائه شده ماشین باردار پشتیبان برای پیش‌بینی کمیت مورد نظر.
۳. تحلیل حساسیت ظرفیت باربری نهایی نسبت به پارامترهای مؤثر بر آن.

### ماشین باردار پشتیبان

روش ماشین باردار پشتیبان یکی از روش‌های یادگیری ماشینی است. این روش بر مبنای تئوری یادگیری پیش‌بینی آماری Vapnik در دهه‌ی ۹۰ میلادی است که توسط Vapnik و همکارانش ارائه گردید. برای کمینه کردن خطای مدل در SVM از اصولی که با عنوان کمینه‌سازی ریسک ساختاری (Structural Risk Minimization) شناخته می‌شوند، استفاده شده است. در حالی که سایر روش‌ها (مانند روش شبکه‌های عصبی مصنوعی) از اصول کمینه‌سازی ریسک تجربی (Empirical Risk Minimization) بهره می‌برند. [4,11].

به طور کلی ماشین باردار پشتیبان در مسائل طبقه‌بندی دو یا چند گروهه و رگرسیون مورد استفاده قرار می‌گیرد. مانند بسیاری از روش‌های یادگیری ماشینی، در این روش نیز فرآیند ساخت مدل شامل دو مرحله‌ی آموزش و آزمایش می‌باشد. در انتهای فاز آموزش قابلیت تعمیم یابی مدل آموزش داده شده با استفاده از داده‌های آزمایش مورد ارزیابی قرار می‌گیرد. در واقع ماشین باردار پشتیبان، تابع رگرسیون را با

در این رابطه:  
 $\epsilon$  = خطای مورد قبول در تابع تلفات (شکل ۱)،  
 $\left( \sum_{i=1}^n w_i^2 \right)^{1/2}$  = نرم بردار وزن (به مقدار  
 $\zeta^*$  = متغیرهای slack که به همراه تابع تلفات در  
 شکل (۱) نشان داده شده‌اند.

بر اساس تئوری لاگرانژ، مسئله‌ی بهینه‌سازی رابطه‌ی (۲) قابل تبدیل به تابع لاگرانژ می‌باشد:

$$L(\alpha^*, \alpha) = -\epsilon \sum_i (\alpha_i^* + \alpha_i) + \sum_i (\alpha_i^* - \alpha_i) - \frac{1}{2} \sum_{i,j} (\alpha_i^* - \alpha_j) (\alpha_j^* - \alpha_i) (x_i \cdot x_j) \quad (3)$$

با بیشینه شدن تابع فوق تحت قیدهای زیر، مقادیر ضرایب  $\alpha^*, \alpha$  به دست می‌آیند. این ضرایب، ضرایب لاگرانژ نامیده می‌شوند.

$$\begin{cases} \sum \alpha_i^* = \sum \alpha_i \\ 0 \leq \alpha_i^* \leq C \\ 0 \leq \alpha_i \leq C \end{cases} \quad \text{for } i = 1, 2, \dots, l \quad (4)$$

در روابط (۴و(۳):  
 $L$  = تابع لاگرانژ،  
 $C$  = پارامتر جریمه یا پارامتر تنظیم.  
 نکته قابل توجه آن است که مسئله‌ی بهینه‌سازی فوق قابل حل به کمک روش‌های QP (Quadratic Programming) می‌باشد. در نتیجه رسیدن به اکسترمم کلی نیز قطعی خواهد بود و خطر به دام افتادن در اکسترمم محلی وجود ندارد [11].

به کارگیری یک دسته تابع خطی تخمین می‌زند، در این تابع، انحراف مقادیر پیش‌بینی شده از مقدار واقعی به میزان  $\epsilon$  مجاز است (تابع تلفات). در نهایت بهترین جواب به کمک اصول کمینه‌سازی ریسک ساختاری بر روی ریسک اندازه‌گیری شده توسط تابع تلفات مورد استفاده، ارائه می‌شود [8].

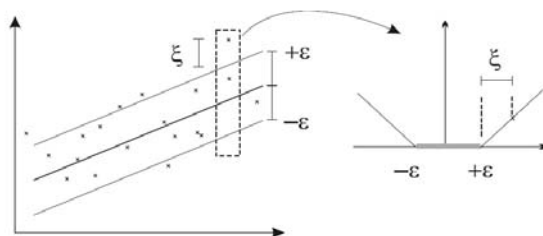
حل مسئله‌ی رگرسیون در SVM بر روی یک مجموعه از داده‌ها، شامل  $I$  نمونه، به صورت  $\{(x_1, y_1), \dots, (x_I, y_I)\} \in R^m, y \in R$  یک تابع خطی به شکل رابطه‌ی (۱) می‌باشد که بتواند مقادیر خروجی را بر مبنای ورودی‌ها تخمین بزند.

$$f(x) = \langle w \cdot x \rangle + b \quad (1)$$

در این رابطه  
 $x$  = بردار ورودی  
 $y$  = مقدار خروجی  
 $w$  = بردار وزن  
 $b$  = بایاس

با استفاده از تابع تلفات Vapnik، پارامترهای کنترل کننده‌ی تابع پاسخ بهینه در SVM (یعنی تابع وزن و بایاس) با حل مسئله‌ی بهینه‌سازی زیر حاصل می‌شوند [11]:

$$\begin{aligned} & \text{Minimize} \\ & \Phi(w, \zeta^*, \zeta) = \frac{\|w\|^2}{2} + C \left( \sum \zeta_i^* + \sum \zeta_i \right) \quad (2-\text{الف}) \\ & y_i - ((w \cdot x_i) + b) \leq \epsilon + \zeta_i \\ & \text{Subject to} \quad ((w \cdot x_i) + b) - y_i \leq \epsilon + \zeta_i^* \\ & \zeta_i^*, \zeta_i \geq 0 \\ & i = 1, 2, \dots, I \quad (2-\text{ب}) \end{aligned}$$



شکل ۱ تابع تلفات Vapnik و متغیرهای slack [11], [12]

$C$  و  $\epsilon$  توسط کاربر تعریف می‌شوند. پارامتر  $C$  یک پارامتر تنظیمی است و می‌تواند مقادیر صفر تا بینهایت را پیدا کند. نقش این پارامتر ایجاد تعادل میان کمینه کردن ریسک تجربی و بیشینه کردن قابلیت تعمیم یابی است. بنابراین، چگونگی اثربخشی اصل کمینه‌سازی ریسک ساختاری مشاهده می‌شود [4]. به عبارت دیگر می‌توان گفت که مقدار  $C$  تعادلی میان عمل کرد مدل بر داده‌های آموزش و داده‌های آزمایش ایجاد می‌کند. وقتی به این پارامتر مقادیر بزرگی اختصاص داده شود، SVM اجازه ی وقوع خطای در داده‌های آموزش نمی‌دهد و نتیجه ی حاصل یک مدل پیچیده خواهد بود (زیرا با افزایش مقدار  $C$ ، اثر قسمت دوم در سمت راست رابطه ۲-الف) بسیار زیاد می‌شود و مدل از بروز خطاهای کوچک بر داده‌های آموزش جلوگیری می‌کند، لذا قابلیت تعمیم یابی مدل کاهش می‌یابد. از طرف دیگر وقتی که  $C$  به سمت صفر میل کند، مدل می‌تواند خطای زیادی را پیدا کند، زیرا با کم شدن مقدار این پارامتر، توجه کمتری به میزان متغیرهای slack در رابطه ۲-الف) معطوف می‌شود و مدل نسبت به وقوع خطای بر مجموعه ی آموزش حساسیت کمتری نشان می‌دهد و در نتیجه، پیچیدگی مدل کمتر خواهد بود [8,9].

پارامتر  $\epsilon$  نیز می‌تواند مقادیر صفر تا بینهایت را پیدا کند. مقدار این پارامتر در وضعیت بردارهای پشتیبان و در نتیجه کارایی مدل بسیار مؤثر است. هر چند که انتخاب مقادیر بسیار بزرگ  $\epsilon$  سبب کاهش تعداد بردارهای پشتیبان می‌شود و مطلوب نیز چنین است اما

بدین ترتیب پاسخ نهایی به صورت زیر خواهد بود [4]:

$$w_0 = \sum_{\text{support vectors}} (\alpha_i^* - \alpha_i) x_i \quad (5)$$

$$b_0 = -\left(\frac{1}{2}\right) w_0 \cdot [x_r + x_s] \quad (6)$$

$$f(x) = \sum_{\text{support vectors}} (\alpha_i^* - \alpha_i) (x_i \cdot x) + b_0 \quad (7)$$

در این روابط:

$x_i$  = بردار ورودی که مدل با آن آموزش داده می‌شود،

$x$  = بردار ورودی،

$x_r, x_s$  = دو بردار پشتیبان،

$w_0$  = بردار وزن بهینه،

$b_0$  = مقدار بهینه بایاس.

داده‌هایی که ضرایب لاگرانژ متناظر با آنها غیر صفر باشد، به عنوان بردار پشتیبان شناخته می‌شوند. از نظر هندسی این داده‌ها دارای خطای پیش‌بینی بزرگتر از  $\pm \epsilon$  هستند. بنابراین، بردارهای پشتیبان درون باند  $\pm \epsilon$  قرار نمی‌گیرند و مقدار  $\epsilon$  تعداد بردارهای پشتیبان را کنترل می‌کند [8]. با توجه به رابطه ۵ مشاهده می‌شود که داده‌هایی که ضرایب لاگرانژ آنها صفر است، نقشی در پاسخ نهایی ندارند. به سخن دیگر، بردارهای پشتیبان هستند که تابع رگرسیون نهایی با پاسخ بهینه را تعیین می‌کنند.

برای ساخت مدل ماشین بردار پشتیبان، پارامترهای

ظرفیت باربری نهایی اندازه‌گیری شده از نتایج آزمایش بارگذاری استاتیکی شمع در مقیاس واقعی استخراج شده است و بار گسیختگی به عنوان ظرفیت باربری نهایی شمع در نظر گرفته شده است. برای شمع‌هایی که در تفسیر نمودار بار-نشست آنها برای تعیین بار نهایی دشواری‌های وجود داشته نیز از معیار  $\approx 80\%$  که توسط Hansen [51] ارائه شده، استفاده شده است. بر اساس این معیار، ظرفیت شمع معادل باری است که تغییر مکان متناظر با آن، چهار برابر تغییر مکان متناظر با  $\approx 80\%$  آن بار باشد [52]. به طور کلی نتایج حاصل از به کار گیری این معیار با گسیختگی شمع در حالت گسیختگی کامل (Plunging failure) سازگاری خوبی نشان می‌دهد [52,53].

**ورودی‌ها و خروجی‌های مدل.** دست‌یابی به یک مدل کارآمد برای پیش‌بینی ظرفیت باربری شمع‌ها نیازمند شناسایی پارامترهای مؤثر در ظرفیت باربری شمع‌ها می‌باشد. در بسیاری از روش‌های موجود، مصالح و هنادسه شمع، خصوصیات مکانیکی خاک و بار اعمال شده مهم‌ترین فاکتورها در ظرفیت باربری شناخته می‌شوند. با این حال، نحوه‌ی اجرای شمع-ها (کوییدنی یا غیر کوییدنی)، انتهای شمع (باز یا بسته) و هم‌چنین نوع آزمون بارگذاری شمع نیز در ظرفیت باربری مؤثر هستند [5]. در این مقاله از نتایج آزمون نفوذ مخروط برای در نظر گرفتن خصوصیات خاک استفاده شده است. نتایج آزمون نفوذ مخروط شامل مقاومت نوک مخروط ( $q_c$ ) در امتداد طول شمع و هم‌چنین اصطکاک جدار مخروط ( $f_s$ ) می‌باشد. طول مدفون شمع به سه قسمت مساوی تقسیم و مقادیر متوسط  $q_c$  و  $f_s$  در هر قسمت محاسبه شده است.

رسیدن به این هدف با عرض کردن باند ۶ نادرست است. از طرف دیگر، مقادیر بسیار کوچک این پارامتر، موجب می‌شود تا تعداد زیادی بردار پشتیبان انتخاب شود و احتمال خطر بیش آموزش شدن افزایش یابد [8].

مسئله‌ی رگرسیون خطی در SVM به آسانی قابل گسترش به رگرسیون غیر خطی است. بدین منظور از توابع کرنل استفاده می‌شود. توابع کرنل، داده‌ها را به یک فضای ویژگی (Feature space) نگاشت می‌کنند که در آن فضای امکان استفاده از رگرسیون خطی وجود داشته باشد. تا کنون کرنل‌های گوناگونی معرفی شده‌اند [11]، اما کرنل‌های چندجمله‌ای (Polynomial) و پایه‌شعایی (Radial basis function) به طور موفقیت‌آمیز در مسائل مهندسی ژئوتکنیک به کار گرفته شده‌اند.

[7-10, 12]

### طراحی مدل

**داده‌های مورد استفاده.** در این مقاله برای گسترش مدل ماشین بردار پشتیبان برای پیش‌بینی ظرفیت باربری نهایی شمع از یک مجموعه داده شامل ۱۰۸ نمونه استفاده شده است. هر نمونه در برگیرنده‌ی مشخصات هندسی شمع، نتایج آزمون بارگذاری استاتیکی شمع در مقیاس واقعی و هم‌چنین نتایج آزمون نفوذ مخروط می‌باشد. داده‌های مورد استفاده از پژوهش‌های منتشر شده استخراج شده‌اند. پیش‌تعدادی از این داده‌ها توسط مراجع [13] (۸۷ نمونه) و [14] (۱۸ نمونه) مورد استفاده قرار گرفته شده است. جدول (۱) مراجع داده‌های مورد استفاده را ارائه می‌نماید. هم‌چنین در این جدول مشخص شده است که از هر مرجع چند نمونه برای آموزش مدل و چند نمونه برای ارزیابی کارایی مدل مورد استفاده قرار گرفته است.

جدول ۱ مرجع داده‌های مورد استفاده

ردیف	محل انجام آزمایش	تعداد کل آزمایش‌های بارگذاری استاتیکی	تعداد مورد استفاده در مجموعه آموزش	تعداد مورد استفاده در مجموعه آزمایش	مرجع
۱	Texas A&M Uni.,USA	۲	۲	۰	[15]
۲	George Island Bridge	۱	۱	۰	[16]
۳	ICS'2 Site, Portugal	۱	۱	۰	[17]
۴	Louisiana, USA	۱	۱	۰	[18]
۵	Route 351 Bridge,USA	۳	۲	۱	[19]
۶	ITD-Idaho	۱	۱	۰	[20]
۷	Belfast, Ireland	۱	۱	۰	[21]
۸	Indiana, US	۲	۲	۰	[22]
۹	Adelaide, Australia	۱	۱	۰	[23]
۱۰	Brussels, Belgium	۴	۲	۲	[24]
۱۱	Georgia, US	۱	۱	۰	[25]
۱۲	Brazil	۱	۱	۰	[26]
۱۳	Grimsby, UK	۲	۱	۱	[27]
۱۴	Vancouver, Canada	۴	۳	۱	[28]
۱۵	Evanston, IL, USA	۲	۱	۱	[29]
۱۶	SF, California, USA	۱	۱	۰	[30]
۱۷	Baghdad, Iraq	۲	۲	۰	[31]
۱۸	Port of Los Angeles, USA	۱	۱	۰	[32]
۱۹	Noto Island, Japan	۲	۲	۰	[33]
۲۰	Taiwan	۲	۱	۱	[34]
۲۱	Louisiana, USA	۷	۶	۱	[35]
۲۲	Florida, USA	۳	۲	۱	[36]
۲۳	Texas, USA	۲	۱	۱	[37]
۲۴	Almere, Netherland	۱	۱	۰	[38]
۲۵	Milan, Italy	۱	۱	۰	[39]
۲۶	Oklahoma, USA	۲	۲	۰	[40]
۲۷	Alabama, USA	۱	۱	۰	[41]
۲۸	Lock and Dam 26, SL, USA	۳	۲	۱	[42]
۲۹	Seattle, USA	۱	۱	۰	[43]
۳۰	Georgia, 1993	۱	۱	۰	[44]
۳۱	Australia	۲	۲	۰	[45]
۳۲	Sao Paulo, Brazil	۲	۱	۱	[46]
۳۳	West Palm Beach, USA	۱	۱	۰	[47]
۳۴	Jefferson County, USA	۱	۱	۰	[47]
۳۵	Blount Island, USA	۵	۴	۱	[47]
۳۶	Houston, USA	۲	۱	۱	[48]
۳۷	Puerto Rico, USA	۲	۲	۰	[49]
۳۸	USA	۳۶	۳۱	۵	[50]

اجرای شمع در محاسبات ریاضی مدل ماشین بردار پشتیبان، مقادیری به هر یک از پارامترها تخصیص داده شده است. به این ترتیب، در نوع آزمایش بارگذاری شمع به آزمایش‌های از نوع بار ماندگار (ML) مقدار (CRP) صفر و آزمایش‌های از نوع نفوذ با نرخ ثابت (CRP) مقدار ۱ تخصیص داده شده است. شمع‌های فولادی با مقدار صفر، بتنی با مقدار ۱ و شمع‌های کامپوزیت با مقدار ۰/۵ تعریف شده‌اند. به شمع‌های با انتهای باز مقدار ۱ و به شمع‌های با انتهای بسته مقدار صفر و در نهایت به شمع‌های کوبیده‌شده مقدار صفر و به شمع‌های غیرکوبیدنی مقدار ۱ تخصیص داده شده است.

پیش از شروع آموزش مدل، داده‌ها به بزرگ‌ترین مقدار متناظر شان تقسیم شده‌اند تا به مقدارهای بین صفر و یک مقیاس شوند. به این ترتیب، اثر مقیاس واقعی (Absolute scale) کمینه شده است و همه‌ی ورودی‌ها تقریباً در یک دامنه قرار گرفته‌اند [7].

آموزش مدل و انتخاب معیارهای ارزیابی مدل. به منظور گسترش یک مدل غیرخطی SVM از توابع کرنل پایه شعاعی (RBF) و تابع کرنل چند جمله‌ای استفاده می‌شود، این کرنل‌ها در روابط زیر تعریف شده‌اند [4,8].

$$K(x, x_i) = \exp(-|x - x_i|^2 / 2\sigma^2) \quad (8)$$

$$K(x, x_i) = (\langle x, x_i \rangle + 1)^d \quad (9)$$

در روابط بالا:

$\sigma$  = عرض کرنل با پایه شعاعی،  
 $d$  = توان چند جمله‌ای.

مقادیر عرض کرنل با پایه شعاعی و توان کرنل چند جمله‌ای توسط کاربر تعیین می‌شوند.

لذا پارامترهای ورودی مدل SVM به شکل زیر در نظر گرفته شده‌اند: ۱) نوع آزمایش بارگذاری استاتیکی شمع (از نوع بار ماندگار یا باز با نرخ نفوذ ثابت یا به عبارت دیگر ML یا CRP)، ۲) نوع مصالح شمع (فولادی، بتنی یا کامپوزیت)، ۳) طریقه‌ی اجرای شمع (کوبیده‌شده (Driven) یا غیرکوبیدنی (Bored))، ۴) وضعیت انتهای شمع (باز یا بسته)، ۵) طول مدل‌فون شمع (Lembed)، ۶) پیرامون شمع در تماس با خاک (O)، ۷) مساحت نوک شمع ( $A_{tip}$ )، ۸) مقادیر متوسط مقاومت نوک مخروط در طول جداره‌ی شمع ( $q_{c1}, q_{c2}, q_{c3}$ )، ۹) مقادیر متوسط مقاومت جدار مخروط در طول شمع ( $f_{s1}, f_{s2}, f_{s3}$ )، ۱۰) مقدار متوسط مقاومت نوک مخروط زیر نوک شمع ( $q_{ctip}$ ). تنها خروجی این مدل نیز مقدار ظرفیت باربری نهایی شمع ( $P_u$ ) است.

آماده‌سازی داده‌ها. برای گسترش یک مدل ماشین بردار پشتیبان داده‌ها به دو دسته‌ی آموزش و آزمایش تقسیم‌بندی می‌شوند [4,8]. در این مقاله تعداد ۸۹ داده از کل داده‌ها (حدود ۸۲/۵٪) برای آموزش و بقیه‌ی داده‌ها شامل ۱۹ داده برای آزمایش کارایی مدل مورد استفاده قرار گرفته شده است. سعی شده است تا مشخصات آماری هر یک از پارامترهای ورودی مجموعه‌ی آموزش و مجموعه‌ی آزمایش نظیر میانگین و انحراف معیار به یک دیگر نزدیک باشند. در جدول (۲) مشخصات آماری داده‌ها شامل میانگین، انحراف استاندارد، کمینه و بیشینه و دامنه‌ی داده‌ها ارائه شده است.

به منظور وارد کردن اثرات جنس مصالح شمع، نوع آزمون بارگذاری شمع، وضعیت انتهای شمع و نوع

جدول ۲ مشخصات آماری مجموعه داده‌های ورودی و خروج

متغیر های مدل و مجموعه داده‌ها	پارامتر آماری					
	میانگین	انحراف معیار	ماکسیمم	مینیمم	دامنه	
<b>A<sub>tip</sub>(m<sup>2</sup>)</b>						
مجموعه داده‌ای آموزش	۰/۱۸۰۰	۰/۱۷۴۹	۰/۷۸۵۴	۰/۰۰۸۰	۰/۷۷۷۴	
مجموعه داده‌ای آزمایش	۰/۱۵۴۴	۰/۱۱۸۵	۰/۵۰۳۰	۰/۰۰۸۰	۰/۴۹۵۰	
<b>O(mm)</b>						
مجموعه داده‌ای آموزش	۱۶۱۴/۴	۸۴۲/۸	۷۳۴۱/۳	۵۸۵/۰	۶۷۵۶/۳	
مجموعه داده‌ای آزمایش	۱۴۱۲/۹	۴۳۶/۰	۲۵۱۰/۰	۸۵۸/۰	۱۶۵۲/۰	
<b>L<sub>embed</sub>(m)</b>						
مجموعه داده‌ای آموزش	۱۵/۵۱	۱۰/۱۲	۶۷/۰	۵/۵	۶۱/۵	
مجموعه داده‌ای آزمایش	۱۷/۲۰	۹/۰۵	۳۶/۵	۶/۵	۳۰/۰	
<b>q<sub>c1</sub>(MPa)</b>						
مجموعه داده‌ای آموزش	۴/۰۲	۳/۰۹	۱۵/۰۷	۰/۰۲	۱۵/۰۵	
مجموعه داده‌ای آزمایش	۴/۱۶	۳/۱۸	۱۱/۷۳	۰/۲۴	۱۱/۴۹	
<b>f<sub>s1</sub>(kPa)</b>						
مجموعه داده‌ای آموزش	۷۳/۴۶	۵۷/۴۵	۲۸۳/۹۳	۰/۷۳	۲۸۳/۲۰	
مجموعه داده‌ای آزمایش	۷۱/۳۴	۴۷/۹۸	۱۷۶/۷۵	۱۰/۷۶	۱۶۵/۹۹	
<b>q<sub>c2</sub>(MPa)</b>						
مجموعه داده‌ای آموزش	۶/۱۴	۵/۷۳	۳۰/۷۱	۰/۳۲	۳۰/۳۹	
مجموعه داده‌ای آزمایش	۵/۹۵	۴/۳۰	۱۸/۴۲	۱/۰۰	۱۷/۴۳	
<b>f<sub>s2</sub>(kPa)</b>						
مجموعه داده‌ای آموزش	۱۰۲/۵۸	۹۳/۶۹	۶۱۸/۶۷	۲/۱۲	۶۱۶/۵۴	
مجموعه داده‌ای آزمایش	۱۰۴/۱۴	۷۲/۷۲	۳۰۳/۰۹	۱۵/۰۰	۲۸۸/۰۹	
<b>q<sub>c3</sub>(MPa)</b>						
مجموعه داده‌ای آموزش	۷/۱۸	۵/۹۲	۳۲/۰۹	۰/۲۷	۳۲/۳۲	
مجموعه داده‌ای آزمایش	۷/۲۸	۵/۲۰	۲۳/۰۶	۰/۷۰	۲۲/۳۶	
<b>f<sub>s3</sub>(kPa)</b>						
مجموعه داده‌ای آموزش	۱۲۵/۸۴	۹۳/۶۳	۳۹۶/۵۷	۷/۹۹	۳۸۸/۵۸	
مجموعه داده‌ای آزمایش	۱۴۶/۶۰	۱۱۰/۱۰	۳۸۸/۰۰	۲۵/۰۰	۳۶۳/۰۰	
<b>q<sub>ctip</sub>(MPa)</b>						
مجموعه داده‌ای آموزش	۸/۷۱	۶/۰۸	۲۷/۱۱	۰/۲۵	۲۶/۸۶	
مجموعه داده‌ای آزمایش	۹/۳۲	۶/۸۷	۲۲/۳۰	۱/۱۵	۲۱/۱۵	
<b>P<sub>u</sub>(kN)</b>						
مجموعه داده‌ای آموزش	۱۹۷۴/۲۸	۱۷۸۴/۱۰	۱۰۹۱۰/۰۰	۶۳/۹۰	۱۰۸۴۶/۱۰	
مجموعه داده‌ای آزمایش	۱۹۷۰/۰۰	۱۳۲۳/۳۱	۵۸۵۰/۰۰	۷۲۵/۰۰	۵۱۲۵/۰۰	

در فرآیند آموزش استفاده نشده‌اند (داده‌های آزمایش) ارزیابی می‌شود. نتایج ارزیابی عمل کرد پیش‌بینی مدل SVM به کمک شاخص‌های آماری نظری ضریب همبستگی و ریشه میانگین مربعات خط‌ها (RMSE)

در این پژوهش برای آموزش مدل و ارزیابی آن بر داده‌های آزمایش از جعبه ابزار SVM در نرم‌افزار MATLAB [54] استفاده شده است. پس از اتمام فرآیند آموزش مدل، عمل کرد آن توسط داده‌هایی که

محاسبه RMSE، خطاهای بزرگ‌تر اهمیت بیشتری نسبت به خطاهای کوچک می‌یابند، این فاکتور به معیاری متداول برای اندازه‌گیری خطا تبدیل شده است [5,56].

## نتایج

در این پژوهش دو مدل ماشین بردار پشتیبان برای پیش‌بینی ظرفیت باربری نهایی شمع‌های تحت اثر بار محوری ارائه شده است. مدل اول با استفاده از یکتابع کرنل پایه شعاعی (RBF) و مدل دوم به کمک تابع کرنل چند جمله‌ای گسترش داده می‌شود. برای رسیدن به مدل بهینه، با ترکیب‌های مختلفی از پارامترهای  $C$ ،  $\sigma$  و پارامترهای تابع کرنل ( $\sigma$ ) برای کرنل RBF و  $d$  در کرنل چند جمله‌ای)، مدل ماشین بردار پشتیبان بر داده‌های آموزش گسترش داده می‌شود و به کمک مجموعه داده‌های آزمایش، عمل کرد مدل بررسی می‌شود.

جدول (۳-۵) فرآیند بهینه‌سازی پارامترهای فوق را نشان می‌دهد. هر جدول در برگیرنده‌ی تعداد بردارهای پشتیبان بر مجموعه آموزش و مقادیر ضریب همبستگی و ریشه دوم میانگین مربعات خطاهای بر مجموعه داده‌های آزمایش می‌باشد. در هر یک از این جدول‌ها، نتایج مدل به ازای تغییرات یک پارامتر از پارامترهای سه‌گانه (یعنی  $C$  و  $\sigma$  و  $d$ ) در حالی که دو پارامتر دیگر ثابت هستند، نشان داده شده است. به عنوان مثال در جدول (۳)، نتایج عمل کرد مدل‌ها به ازای تغییرات پارامتر  $\sigma$  در حالی که مقادیر  $C$  و پارامتر کرنل ثابت هستند، ارائه شده است. مشاهده می‌شود که با افزایش  $\sigma$ ، تعداد بردار پشتیبان کاهش می‌یابد، اما همان‌طور که گفته شده است، در فرآیند رسیدن به پاسخ بهینه، کاهش تعداد بردار پشتیبان با افزایش مقدار  $\sigma$  تا حد معینی مؤثر است و رسیدن به کمترین خطای پیش‌بینی و بیشترین همبستگی با مقادیر واقعی الزاماً با افزایش  $\sigma$  برآورده نمی‌گردد. با توجه به جدول (۳)، در

ارائه شده است. ضریب همبستگی معیاری است برای اندازه‌گیری همبستگی نسبی میان مقادیر پیش‌بینی شده و اندازه‌گیری شده و از رابطه‌ی زیر به دست می‌آید [5]

$$R = \frac{c_{y_j d_j}}{\sigma_{y_j} \sigma_{d_j}} \quad (10)$$

$$C_{y_j d_j} = \frac{1}{n-1} \sum_{j=1}^n (y_j - \bar{y})(d_j - \bar{d}) = \frac{1}{n-1} \left( \sum_{j=1}^n y_j d_j - \frac{\sum_{j=1}^n y_j \sum_{j=1}^n d_j}{n} \right) \quad (11)$$

$$\sigma_{y_j} = \sqrt{\frac{\sum_{j=1}^n (y_j - \bar{y})^2}{n-1}} \quad (12)$$

$$\sigma_{d_j} = \sqrt{\frac{\sum_{j=1}^n (d_j - \bar{d})^2}{n-1}} \quad (13)$$

$$\bar{y} = \frac{\sum_{j=1}^n y_j}{n} \quad (14)$$

$$\bar{d} = \frac{\sum_{j=1}^n d_j}{n} \quad (15)$$

در این رابطه‌ها

$y_j$  = مقدار خروجی اندازه‌گیری شده (مطلوب)،

$d_j$  = مقدار خروجی مدل (پیش‌بینی شده)،

$c_{y_j d_j}$  = کواریانس میان خروجی مدل و خروجی اندازه‌گیری شده،

$\sigma_{y_j}$  = انحراف استاندارد خروجی اندازه‌گیری شده،

$\sigma_{d_j}$  = انحراف استاندارد خروجی مدل،

$\bar{y}$  = میانگین خروجی‌های اندازه‌گیری شده،

$\bar{d}$  = میانگین خروجی‌های مدل،

$n$  = تعداد داده‌ها.

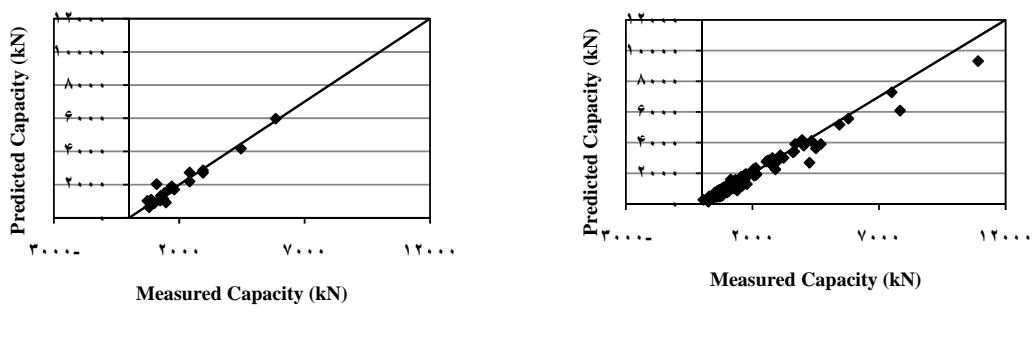
در صورتی که مقدار قدر مطلق ضریب همبستگی بزرگ‌تر از  $0/8$  باشد، بنا بر [55]، همبستگی قوی میان دو مجموعه داده وجود دارد. از آنجا که در

ازای مقادیر بزرگ‌تر این پارامتر پاسخ‌ها بهینه نیستند.

مدل گسترش یافته باتابع کرنل پایه شعاعی به ازای  
مقادیر  $\epsilon = 0.02$  مدل بهینه حاصل خواهد شد و به

جدول ۳ ارزیابی مدل به ازای مقادیر گوناگون پارامتر  $\epsilon$

Radial Basis Function (rbf) $C=0.1$ & $\sigma=0.75$				Polynomial Function $C=0.2$ & $d=1.9$			
$\epsilon$	تعداد بردارهای پشتیبان	R	RMSE (kN)	$\epsilon$	تعداد بردارهای پشتیبان	R	RMSE (kN)
0.001	88	0.963	333/28	0.001	88	0.948	417/12
0.002	87	0.963	331/96	0.002	87	0.948	418/11
0.003	86	0.963	359/85	0.003	86	0.947	418/0.5
0.004	84	0.963	357/81	0.004	83	0.947	418/54
0.005	83	0.964	355/87	0.005	80	0.947	418/62
0.006	83	0.964	353/78	0.006	79	0.947	417/18
0.007	82	0.965	349/0.2	0.007	78	0.948	410/63
0.008	81	0.966	343/0.5	0.008	77	0.948	415/72
0.009	79	0.967	337/22	0.009	75	0.948	417/70
0.01	78	0.968	331/91	0.01	75	0.948	419/29
0.02	64	0.971	308/00	0.02	66	0.939	440/26
0.03	50	0.966	335/05	0.03	58	0.925	498/73
0.04	44	0.959	374/12	0.04	45	0.923	519/0.6
0.05	38	0.947	424/33	0.05	37	0.921	534/45
0.06	31	0.937	463/14	0.06	32	0.927	509/91
0.07	28	0.921	511/47	0.07	26	0.924	524/53
0.08	23	0.909	557/0.6	0.08	22	0.926	519/59
0.09	22	0.894	606/60	0.09	21	0.925	528/71
0.1	19	0.878	646/76	0.1	19	0.925	533/66



شکل ۲ ظرفیت باربری اندازه‌گیری شده در برابر پیش‌بینی شده توسط مدل SVM گسترش داده شده به کمک تابع کرنل پایه شعاعی (الف) بر روی داده‌های مجموعه آموزش، (ب) بر روی مجموعه داده‌ای آزمایش (ارزیابی)

جدول ۴ ارزیابی مدل به ازای مقادیر گوناگون پارامتر C

Radial Basis Function(rbf) $\epsilon=0.02$ & $\sigma=0.75$				Polynomial Function $\epsilon=0.007$ & $d=1/9$			
C	تعداد بردارهای پشتیبان	R	RMSE (kN)	C	تعداد بردارهای پشتیبان	R	RMSE (kN)
0.001	87	-0.170	2128/62	0.001	86	0.743	1394/0.2
0.01	77	0.044	1630/60	0.01	79	0.907	866/57
0.05	64	0.765	1177/49	0.05	76	0.939	601/33
0.1	61	0.851	964/29	0.1	78	0.945	498/52
0.2	64	0.901	737/60	0.2	78	0.948	415/63
0.3	64	0.927	616/65	0.3	79	0.948	422/25
0.5	60	0.954	427/53	0.5	84	0.945	508/31
0.7	64	0.970	315/14	0.7	80	0.949	507/64
0.8	64	0.971	308/00	0.8	82	0.950	511/12
0.9	64	0.970	330/25	0.9	82	0.952	509/89
1	64	0.966	378/92	1	83	0.954	510/11
2	61	0.954	524/49	2	81	0.942	654/50
5	61	0.951	534/71	5	81	0.931	701/60
10	64	0.952	529/17	10	82	0.913	750/13
50	64	0.952	529/17	50	85	0.850	1034/20
100	64	0.952	529/17	100	84	0.734	1454/80
500	64	0.952	529/17	500	87	0.075	4434/56

هر تابع کرنل و تعداد بردارهای پشتیبان متناظر با آنها را نشان می‌دهد. همچنین نتایج عمل کرد مدل بهینه بر مجموعه داده‌های آموزش و آزمایش در جدول (۷) نشان داده شده است. همچنین نمودار مقادیر اندازه‌گیری شده ظرفیت باربری نهایی در برابر مقدار پیش‌بینی شده به وسیله‌ی مدل‌های گسترش یافته به ازای هر یک از توابع کرنل در شکل‌های (۲و۳) نشان داده شده است. مقادیر اندازه‌گیری شده ظرفیت باربری نهایی و مقادیر پیش‌بینی شده‌ی آن به همراه مشخصات هندسی شمع و نتایج آزمایش CPT بر داده‌های مجموعه آزمایش در جدول (۸) ارائه شده‌اند. با مقایسه نتایج مشاهده می‌شود که مدل گسترش یافته با تابع کرنل پایه شعاعی عمل کرد بهتری نسبت به کرنل چند جمله‌ای از خود نشان می‌دهد.

با بررسی مدل‌های گسترش یافته با تابع کرنل پایه شعاعی، مشاهده می‌شود مدلی که در آن عرض تابع کرنل ( $\sigma$ ) برابر با  $0.75$  است و سایر پارامترهای مدل (یعنی  $\epsilon$  و C) به ترتیب  $0.02$  و  $0.8$  انتخاب شده‌اند، با داشتن کمترین مقدار خطای RMSE=308 kN (بسنگی R=0.971) بر داده‌های آزمایش، بهترین عمل کرد را نشان می‌دهد. در مدل دیگری که با استفاده از تابع کرنل چندجمله‌ای گسترش داده شده است، مقدار بهینه‌ی درجه تابع کرنل چند جمله‌ای  $1/9$  تعیین شده است و کارترین مدل به ازای مقادیر  $\epsilon=0.007$  و  $C=0.2$  بر داده‌های آزمایش، ضریب همبستگی RMSE=415/63 kN و R=0.948 را ارائه می‌دهد. جدول (۶) مقادیر پارامترهای مدل‌های بهینه برای

جدول ۵ ارزیابی مدل به ازای مقادیر گوناگون پارامتر کرnel

Radial Basis Function(rbf) $C=0.8$ & $\epsilon=0.02$				Polynomial Function $C=0.2$ & $\epsilon=0.007$			
$\sigma$	تعداد بردارهای پشتیبان	R	RMSE (kN)	d	تعداد بردارهای پشتیبان	R	RMSE (kN)
0.05	87	0.125	2103/36	0.05	83	0.677	1345/21
0.1	85	0.031	1688/07	0.1	80	0.703	1250/09
0.25	66	0.953	552/51	0.25	80	0.771	1019/17
0.5	64	0.957	477/11	0.5	80	0.821	866/56
0.6	63	0.957	477/79	0.6	81	0.837	848/83
0.7	63	0.968	337/01	0.7	82	0.848	807/52
0.75	64	0.971	308/00	0.75	81	0.853	798/37
0.8	64	0.971	310/86	0.8	82	0.858	788/56
0.9	61	0.963	361/99	0.9	81	0.853	779/93
1	60	0.956	412/78	1	79	0.877	742/61
1/2	61	0.935	522/12	1/2	77	0.911	672/91
1/5	60	0.917	584/10	1/5	77	0.938	564/63
1/8	65	0.918	633/09	1/8	78	0.945	443/74
1/9	65	0.917	649/39	1/9	78	0.948	410/63
2	64	0.916	644/86	2	77	0.947	421/93
3	61	0.886	764/34	3	76	0.948	605/30
5	63	0.873	916/52	5	83	0.930	830/38
10	73	0.818	1224/10	10	79	0.869	1513/12

جدول 6 مقادیر پارامترهای مدل بهینه و تعداد بردارهای پشتیبان

تعداد بردارهای پشتیبان	$\epsilon$	C	پارامتر تابع کرnel	مدل بر اساس نوع تابع کرnel
64	0.02	0.75	(RBF) کرnel پایه شعاعی	مدل بر اساس نوع تابع کرnel
78	0.007	0.2	کرnel چند جمله ای	کرnel چند جمله ای

جدول 7 نتایج عمل کرد مدل بهینه بر مجموعه داده‌های آموزش و آزمایش در قالب ضریب همبستگی و RMSE

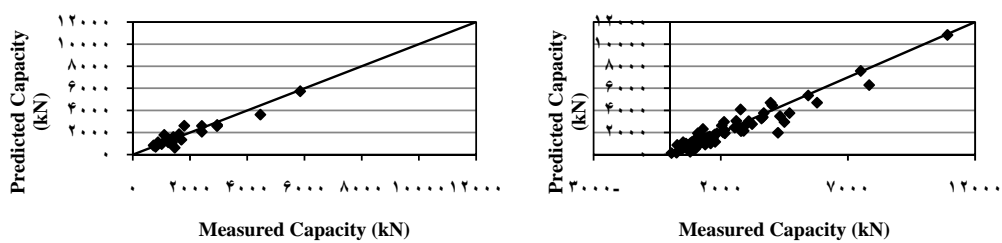
مجموعه آزمایش	مجموعه آموزش	R	RMSE (kN)	R	RMSE (kN)
مدل بر اساس نوع تابع کرnel	مدل بر اساس نوع تابع کرnel	0.982	393/41	0.971	308/00
(RBF) کرnel پایه شعاعی					
کرnel چند جمله ای	0.958	513/33	0.948	415/63	

جدول ۸ نتایج مدل بر مجموعه داده های آزمایش

ردیف	نوع آزمایش	نوع شمع	نحوه اجرای شمع	وضعیت انتهای شمع	$P_{um}$ (kN)	$P_{up}$ (kN)		
						SVM (R=+/-1)	ANN (R=+/-9)	de Ruiter & Beringen (R=+/-47)
۱	ML	Steel	Driven	Open	۱۳۷۰/۰۰	۱۱۳۴/۳۳	۱۷۹۵/۴۸	۱۰۷۳/۱۳
۲	ML	Concrete	Driven	Closed	۲۹۴۶/۰۰	۲۸۵۰/۶۰	--	--
۳	ML	Concrete	Driven	Closed	۲۴۱۴/۰۰	۲۷۲۷/۸۰	--	--
۴	ML	Steel	Driven	Closed	۱۱۰۰/۰۰	۲۰۲۵/۹۶	۱۳۶۴/۶۷	۱۹۱۲/۷۹
۵	ML	Composite	Driven	Closed	۲۴۱۴/۰۰	۲۱۹۴/۰۴	--	--
۶	ML	Concrete	Bored	Closed	۱۷۰۱/۰۰	۱۸۹۱/۲۱	۳۵۶۷/۷۲	۲۵۶۴/۰۹
۷	ML	Steel	Driven	Closed	۴۴۷۰/۰۰	۴۱۷۸/۱۹	۴۴۰۰/۹۶	۴۰۵۲/۳۱
۸	ML	Steel	Driven	Closed	۱۰۱۰/۰۰	۸۸۷/۷۱	۱۰۹۰/۱۲	۷۶۷/۴۰
۹	ML	Concrete	Driven	Closed	۲۹۵۰/۰۰	۲۷۱۲/۶۸	۳۱۹۹/۸۵	۳۹۲۴/۸۶
۱۰	ML	Concrete	Bored	Closed	۵۸۵۰/۰۰	۵۹۷۸/۲۲	۳۵۸۷/۵۴	۶۴۶۵/۹۹
۱۱	ML	Concrete	Driven	Closed	۱۲۶۰/۰۰	۱۳۰۹/۲۰	۱۴۱۹/۸۷	۹۸۴/۲۶
۱۲	ML	Steel	Driven	Closed	۱۸۰۰/۰۰	۱۷۰۳/۰۸	--	۲۱۴۴/۱۵
۱۳	ML	Concrete	Bored	Closed	۷۲۵/۰۰	۱۰۱۷/۷۰	۳۵۶۷/۹۰	۴۱۲/۸۷
۱۴	ML	Steel	Driven	Closed	۱۶۲۰/۰۰	۱۷۷۷/۲۴	--	۱۳۴۲/۹۹
۱۵	ML	Steel	Driven	Closed	۸۰۰/۰۰	۶۳۳/۰۶	۵۶۸/۲۴	۱۱۱۹/۸۸
۱۶	ML	Concrete	Driven	Closed	۱۴۲۰/۰۰	۱۴۵۹/۷۷	۳۰۰۲/۲۹	۱۵۲۲/۲۸
۱۷	ML	Concrete	Driven	Closed	۱۴۷۰/۰۰	۹۲۵/۲۳	۱۳۱۳/۹۶	۱۴۶۲/۷۳
۱۸	ML	Concrete	Bored	Closed	۸۸۰/۰۰	۱۰۸۳/۶۳	۳۵۷/۰۷	۱۸۳۶/۵۶
۱۹	ML	Steel	Driven	Open	۱۲۴۰/۰۰	۱۰۳۶/۷۰	۷۰۰/۴۴	۱۳۹۷/۲۶

۱. به دلیل محدودیت جنس مصالح یا قرار نگرفتن در محدوده‌ی مجاز داده‌های سازکار با مدل ANN، پیش‌بینی ظرفیت باربری با مدل شبکه عصبی انجام نشده است.

۲. به دلیل کمبود اطلاعات، در سه نمونه از داده‌های فوق از روش de Ruiter&Beringen برای تعیین ظرفیت باربری استفاده نشده است.



شکل ۳ ظرفیت باربری اثنازاه گیری شده در برابر پیش‌بینی شده توسط مدل SVM گسترش داده شده به کمک تابع کرنل چند جمله‌ای (الف) بر روی داده‌های مجموعه آموزش (ب) بر روی مجموعه داده‌های آزمایش (ارزیابی)

می‌شود که مدل‌های SVM در برابر این روش سنتی نیز پیش‌بینی بهتری از ظرفیت باربری نهایی شمع‌های منفرد تحت اثر بار محوری ارائه می‌دهند.

برای بررسی حساسیت متغیرهای ورودی بر ظرفیت باربری نهایی از روش معرفی شده توسط Lioing و همکاران [59] استفاده شده است. در این روش هر بار یکی از متغیرهای ورودی به اندازه‌ی مقداری ثابت تغییر می‌کند و مقدار خروجی به ازای این ورودی‌های جدید محاسبه می‌شود. در این مقاله نرخ تغییر ۲۰٪ برای هر متغیر ورودی به کار گرفته شده است [9]. مقدار حساسیت نیز از رابطه‌ی زیر محاسبه می‌شود:

$$\text{درجه حساسیت متغیر}_i = \frac{1}{r} \sum_{j=1}^r \left( \frac{\text{درصد تغییر خروجی}}{\text{درصد تغییر ورودی}_j} \right) \times 100 \quad (16)$$

در این رابطه  $r$  برابر است با تعداد نمونه‌ها.

برای تحلیل حساسیت، از پارامترهای مساحت نوک شمع، پیرامون شمع در تماس با خاک و مقاومت مشخصه‌ی خاک در قالب  $q_c$  و  $f_s$  و  $q_{ctip}$  استفاده و در نهایت درصد تأثیر هر یک از پارامترهای فوق در نسبت به سایر پارامترها در جدول (۹) ارائه شده است. با توجه به این که مدل گسترش‌یافته بر مبنای تابع کرنل پایه شعاعی عمل کرد بهتری از خود نشان داده، آنالیز حساسیت فقط روی این مدل انجام شده است. با توجه به جدول (۹) مشاهده می‌شود که مشخصات خاک در قالب نتایج آزمایش CPT با دارا بودن سهمی معادل با ۳۹/۵٪ که حاصل مجموع مقادیر سه ردیف آخر جدول ۹ می‌باشد، بیشترین تأثیر را بر ظرفیت باربری نهایی شمع دارد. پس از این عامل، به ترتیب طول مدفون شمع، مساحت نوک شمع و پیرامون شمع در تماس با خاک موارد اثرگذار در ظرفیت باربری می‌باشند. نتیجه‌ی فوق با فیزیک خاک و شمع مطابقت

برای مقایسه‌ی نتایج حاصل از این پژوهش با سایر مدل‌ها، از مدل شبکه عصبی مصنوعی (ANN) و یک روش سنتی تعیین ظرفیت باربری مبتنی بر نتایج CPT استفاده می‌شود. این روش‌ها بر همان نمونه‌هایی که برای ارزیابی مدل‌های SVM مورد استفاده قرار گرفته‌اند، اعمال شده‌اند و نتایج حاصل با مدل‌های SVM مقایسه شده است. Shahin [2] برای پیش‌بینی ظرفیت باربری شمع‌ها با استفاده از نتایج CPT به صورت مجزا برای شمع‌های کوبیدنی و غیر کوبیدنی مدل‌هایی با استفاده از شبکه‌ی عصبی مصنوعی گسترش داده و به صورت روابطی ارائه کرده است. نتایج حاصل از مدل شبکه‌ی عصبی در جدول (۸) ارائه شده است. نتایج حاصل از مدل ANN گسترش یافته روی شمع‌های کوبیدنی بر داده‌های آزمایش دارای  $R=0.89$  و  $\text{RMSE}=567/6 \text{ kN}$  می‌باشد. با توجه به جدول (۸)، نتایج مدل ارائه شده برای شمع‌های غیرکوبیدنی سازگاری مناسبی با مقادیر واقعی ندارد و نتایج بسیار دور از واقعیت هستند. بدین ترتیب، با مقایسه‌ی نتایج مدل‌های ANN و SVM مشاهده می‌شود که مدل ماشین بردار پشتیبان عمل کرد بهتری نشان می‌دهد.

برای ارزیابی عمل کرد مدل‌های SVM، علاوه بر مدل شبکه‌ی عصبی، از یک روش سنتی مبتنی بر CPT نیز استفاده شده است. تا کنون روش‌های گوناگونی برای پیش‌بینی ظرفیت باربری شمع‌ها با استفاده از نتایج CPT پیشنهاد شده است. در این میان روش de Ruiter and Beringen [57] یکی از روش‌های متداول است که کارایی بهتر آن نسبت به روش‌های سنتی دیگر تأیید شده است [58]. مقایسه‌ی نتایج این روش با مقادیر اندازه‌گیری شده‌ی ظرفیت باربری، ضریب همبستگی  $0.947$  و  $\text{RMSE}=528/57 \text{ kN}$  را نشان می‌دهد. با مقایسه‌ی نتایج این روش با نتایج مدل‌های SVM مشاهده

(روش de Ruiter and Beringen [57])، برتری مدل‌های ارائه شده در این پژوهش را تأیید می‌کند.

### فهرست نشانه‌ها

سطح مقطع نوک شمع	$A_{tip}$
بایاس	$b$
مقدار بهینه‌ی بایاس	$b_0$
پارامتر جریمه یا پارامتر تنظیمی	$C$
کواریانس میان خروجی مدل و خروجی اندازه‌گیری شده	$C_{y_{jd}}$
توان کرنل چند جمله‌ای	$d$
مقدار خروجی مدل	$d_j$
میانگین خروجی‌های مدل	$\bar{d}$
CPT اصطکاک جدار مخروط در	$f_s$
مقادیر متوسط اصطکاک جدار مخروط در امتداد قسمت‌های اول، دوم و سوم	$f_{s1}, f_{s2}, f_{s3}$
طول مدفون شمع	
مقدار متوسط اصطکاک جدار مخروط در طول مدفون شمع	$\bar{f}_s$
طول مدفون شمع	$L_{embed}$
تابع لاغرائز	$L$
تعداد نمونه‌ها	$l$
بعد بردار $X$	$m$
تعداد نمونه‌ها (در محاسبه‌ی ضرب همبستگی)	$n$
پیامون شمع	$O$
CPT مقاومت نوک مخروط در	$q_c$
مقادیر متوسط مقاومت نوک مخروط در امتداد قسمت‌های اول، دوم و سوم	$q_{c1}, q_{c2}, q_{c3}$
طول مدفون شمع	
مقدار متوسط مقاومت نوک مخروط در طول مدفون شمع	$\bar{q}_c$
مقدار متوسط مقاومت نوک مخروط در زیر نوک شمع	$q_{ctip}$
تعداد نمونه‌ها در تحلیل حساسیت	$r$

خوبی نشان می‌دهد.

جدول ۹ نتایج آنالیز حساسیت در مدل آموزش داده شده با کرنل پایه شعاعی

متغیر ورودی	حساسیت (%)
$A_{tip}$	۲۱/۳۵
$O$	۱۵/۸۱
$L_{embed}$	۲۳/۳۰
$q_c$	۱۲/۶۱
$f_s$	۱۲/۵۰
$q_{c(tip)}$	۱۴/۴۲

### نتیجه‌گیری

در این مقاله قابلیت روش ماشین بردار پشتیبان برای پیش‌بینی ظرفیت باربری نهایی شمع‌های شمع‌های تحت اثر بار محوری ارزیابی شده است. در این پژوهش از توابع کرنل پایه شعاعی و چند جمله‌ای برای گسترش مدل‌های غیرخطی بر یک مجموعه شامل ۱۰۸ نمونه از اطلاعات اندازه‌گیری‌های میدانی ظرفیت باربری استفاده شده است.

بررسی نتایج نشان می‌دهد که مدل ماشین بردار پشتیبان دقت مناسبی در پیش‌بینی ظرفیت باربری شمع‌های در محدوده‌ی داده‌های مورد استفاده دارد، به‌طوری که در نتایج ارزیابی مدل بهینه‌ی گسترش‌داده شده بر مبنای تابع کرنل پایه شعاعی بر روی داده‌های آزمایش مقادیر  $R=0/971$  و  $kN=30.8$  به دست آمده‌اند. تحلیل حساسیت بر مدل و با استفاده از داده‌های ورودی که دارای مقادیر کمی هستند انجام شده است و بر اساس نتایج به دست آمده، مشخصات خاک (در قالب نتایج آزمایش CPT) با سهمی معادل با  $53/0.39$  مهم‌ترین اثر را بر ظرفیت باربری دارا می‌باشد.

علاوه بر همبستگی بسیار خوب نتایج مدل SVM با مقادیر واقعی، مقایسه عمل کرد این مدل با نتایج مدل شبکه عصبی (ارائه شده توسط Shahin [2]) و یک مدل سنتی مبتنی بر CPT

عرض کرنل پایه شعاعی	$\sigma$	مجموعه اعداد حقیقی	$R$
انحراف استاندارد خروجی اندازه‌گیری شده	$\sigma_{y_j}$	بردار وزن	$w$
انحراف استاندارد خروجی مدل	$\sigma_{d_j}$	بردار مقادیر ورودی	$x$
عملگر ضرب داخلی	$\langle , \rangle$	دو بردار پشتیبان	$x_r, x_s$
عملگر نرم بردار	$\parallel \parallel^2$	مقدار خروجی	$y$
		میانگین خروجی‌های اندازه‌گیری شده	$\bar{y}$
		ضرایب لاغرانژ	$\alpha, \alpha^*$

## مراجع

- Lee, I. M., and Lee, J. H., "Prediction of pile bearing capacity using artificial neural networks", *J. Computers and Geotechnics*, Vol. 18, pp. 189-200, (1995).
- Shahin, M. A., "Intelligent computing for modeling axial capacity of pile foundations", *J. Can. Geotech.*, Vol. 47, pp. 230-243, (2010).
- Shahin, M. A., Jaksa, M. B., and Maier, H. R., "Predicting the settlement of shallow foundations on cohesionless soils using back-propagation neural networks", *Research Report No. R 167*, Dept. Civil & Env. Eng., Uni. of Adelaide, February, 16 pp., (2000).
- Dibike, Y.B., Velikov, S., Solomatine, D. and Abbot, M.B., "Model induction with support vector machines-introduction and applications", *J. Comput. Civ. Eng.*, ASCE, Vol. 15, No. 3, pp. 208-216, (2001).
- Pooya Nejad, F., Jaksa, M. B., Kakhi, M., and McCabe, B. A., "Prediction of pile settlement using artificial neural networks based on standard penetration test data.", *J. Computers and Geotechnics*, Vol. 36, pp. 1125-1133, (2009).
- Ardalan H., Eslami A. and Nariman-Zadeh N., "Piles shaft capacity from CPT and CPTu data by polynomial neural network and genetic algorithms", *J. Computers and Geotechnics*, Vol. 36, pp. 616-625, (2009).
- Goh, A. T. C., and Goh, S. H., "Support vector machines: their use in geotechnical engineering as illustrated using seismic liquefaction data.", *J. Computers and Geotechnics*, Vol. 34, pp. 410-421, (2007).
- Samui, P., "Support vector machine applied to settlement of shallow foundations on cohesionless soils.", *J. Computers and Geotechnics*, Vol. 35, pp. 419 - 427, (2008).
- Samui, P., Sitharam, T. G., and Kurup, P. U., "OCR prediction using support vector machine based on piezocone data.", *J. Geotech. and Geoenv. Eng.*, ASCE, Vol. 134, No. 6, pp. 894-898, (2008).

10. Pal, M., and Deswal, S., "Modeling pile capacity using Gaussian process regression.", *J. Computers and Geotechnics*, Vol. 37, pp. 942–947, (2010).
11. Cristianini, N., and Shaw-Taylor, J., "An introduction to support vector machines and other kernel-based learning methods.", Cambridge, Cambridge University Press, (2000).
12. Pal, M., and Deswal, S., "Modeling pile capacity using support vector machines and generalized regression neural network.", *J. Geotech. and Geoenv. Eng.*, ASCE, Vol. 134, No. 7, pp. 1021-1024, (2008).
13. Eslami, A., "Bearing capacity of piles from cone penetration test data", Ph.D. thesis, *University of Ottawa*, (1996).
14. Pooya Nejad, F. and Jaksa, M. B., "Prediction of Pile Settlement Using Artificial Neural Networks Based on Cone Penetration Test Data." Proceedings of the GeoFlorida Conference, Florida, February 20–24, pp. 1432–1441, (2010).
15. Ballouz, M., Nasar, G., and Briaud, J.L., "Dynamic and static testing of nine drilled shafts at Texas A&M University geotechnical sites.", Research Report, Civil Engineering, Texas A&M University, College Station, Texas, 127, (1991).
16. Florida Department of Transportation (FDOT), "Large diameter cylinder pile database", Research Management Center, (2003).
17. Fellenius, B.H., Santos, J. A., and Fonseca, A. V., "Analysis of piles in residual soil-the ISC'2 prediction.", *J. Can. Geotech.*, Vol. 44, pp. 201-220, (2007).
18. Abu-Farsakh, M. Y., Titi, H. H., and Tumay, M. T., "Prediction of bearing capacity of friction piles in soft Louisiana soils by cone penetration test", *Transportation Research Record: J. Transportation Research Board*, No. 1657, 32-39, (1999).
19. U.S. Department of Transportation, "A laboratory and field study of composite piles for bridge substructures", FHWA-HRT-04-043, (2006).
20. Fellenius, B. H., Harris, D. E., and Anderson, D. G., "Static loading test on a 45m long pile in Sanpoint, Idaho.", *J. Can. Geotech.*, Vol. 41, pp. 613-628, (2004).
21. McCabe, B. A., and Lehane, B. M., "Behavior of axially loaded pile groups driven in clayey silt.", *J. Geotech. and Geoenv. Eng.*, ASCE, Vol. 132, No. 3, pp. 401-410, (2006).
22. Paik, K. H., and Salgado, R., "Determination of bearing capacity of open-ended piles in sands.", *J. Geotech. and Geoenv. Eng.*, ASCE, Vol. 129, No. 1, pp. 46-57, (2003).
23. Adelaide Department of Transportation, Bakewell Bridge, Adelaide, Australia.
24. Omer, J. R., Delpak, R., and Robinson, R. B., "A new computer program for pile capacity prediction using CPT data.", *J. Geotechnical and Geological Engineering*, Vol. 24, pp. 399-426, (2005).

25. Harris, E., and Mayne, P., "Axial compression behavior of two drilled shafts in Piedmont residual soils.", *Proc. Int. Conf. on Design and Construction of Deep Foundation*, FHWA, Washington, D.C., Vol.2, pp. 352-367, (1994).
26. Piexoto, A. S. P., de Albuquerque, P. J. R., and de Carvalho, D., "Utilization of SPT-T, CPT and DMT tests to predict the ultimate bearing capacity of precast pile in Brazilian unsaturated residual soil.", *Proc. Conf. on Advances in Unsaturated Geotechnics*, GSP No. 99, ASCE, Denver, 32-39, (2000).
27. Brown, M. J., Hyde, A. F. L., and Anderson, W. F., "Analysis of a rapid load test on an instrumented bored pile in clay.", *J. Géotechnique*, Vol. 56, No. 9, pp. 627-638, (2006).
28. Campnella, R. G., Robertson, P. K., Davis, M. P., and Sy, A., "Use of in-situ tests in pile design", *Proc. of 12th Int. Conf. on Soil Mechanics and Foundation Engineering*, ICSMFE, Rio de Janeiro, Vol. 1, pp. 199-203, (1989).
29. Finno, R. J., "Subsurface conditions and pile installation data.", *Proc. Symp. on Predicted and Observed Behavior of Piles*, GSP No. 23, ASCE, Evanston, pp.1-74, (1989).
30. O'Neil, M. W., "Pile group prediction symposium - summary of prediction results", FHWA, draft report, (1988)
31. Altaee, A., Fellenius, B. H., and Evgin, E., "Axial Load transfer for piles in sand. 1-Tests on an instrumented precast pile.", *J. Can. Geotech.*, Vol. 29, pp. 11-20, (1992).
32. CH2M Hill, "Geotechnical report on indicator pile testing and static pile testing." Berths 225-229 at Port of Los Angeles, CH2M Hill, Los Angeles, (1987).
33. Matsumoto, T., Michi, Y., and Hirono, T., "Performance of axially loaded steel pipe piles driven in soft rock.", *J. Geotech. and Geoenv. Eng.*, ASCE, Vol. 121, No. 4, pp. 305-315, (1995).
34. Yen, T. L., Lin, H., Chin, C. T., and Wang, R. F., "Interpretation of instrumented driven steel pipe piles.", *Proc. Foundation Eng. Cong.: Current Principle and Practices*, GSP No. 22, ASCE, pp. 1293-1308, (1989).
35. Tumay, M. Y., and Fakhroo, M., "Pile capacity in soft clays using electric QCPT data", *Proc. Conf. on Cone Penetration Testing and Experience*, ASCE, St Louis, pp. 434-455, (1981).
36. Avasarala, S. K. V., Davidson, J. L., and McVay, A. M., "An evaluation of predicted ultimate capacity of single piles from spile and unpile programs" *Proc. Int. Conf. on Design and Construction of Deep Foundations*, FHWA, Orlando, Vol. 2, pp. 712-723, (1994).
37. Reese, J. D., O'Neil, M. W. and Wang, S. T., "Drilled Shaft Tests", Interchange of West Belt Roll Road and US290 Highway, Texas. Final Report. Lymon C. and Associates. Austin, (1988).

38. Viergever, M. A., "Relation between cone penetration and static loading of piles on locally strongly varying sand layers", *Proc. of 2nd European Symp, on Penetration Testing*, Amsterdam, Vol. 2, pp. 927-932, (1982).
39. Gambini, F., "Experience in Italy with centricast concrete piles" *Proc. Int. Symp, on Penetrability and Drivability of Piles*, San Francisco, Vol.1, pp. 97-100, (1985).
40. Neveles, J. B. and Donald, R. S., "Comparison of settlement prediction for single piles in sand based on penetration test results." *Proc. of Settlement-94, Vertical and Horizontal Deformation of Foundations and Embankments, GSP No. 40*, ASCE, College Station, pp. 1028-1039, (1994).
41. Laier, J. E., "Predicting the ultimate compressive capacity of long 12-H-74 steel pile" *Proc. Int. Conf. on Design and Construction of Deep Foundations*, FHWA, Orlando, Vol. 2, pp. 1804-1818, (1994).
42. Tucker, L. M., and Briaud, J. L., "Analysis of pile load test program at Lock and Dam 26 replacement project" Final report, US Army Corps of Engineering, (1988).
43. Horvitz, G. E., Stettler, D. R., and Crowser, J. C., "Comparison of predicted and observed pile capacity" *Proc. Symp, on Cone Penetration Testing*, ASCE, St. Louis, pp. 413-433, (1986).
44. Mayne, P. W., "Axial load-displacement behavior of drilled shaft foundation in Piedmont residuum" Research Report, Rep. No. FHWA-41-30-2175, Federal Highway Administration, Virginia, (1993).
45. Haustoefer, I. J., and Plesiotis, S., "Instrumented dynamic and static pile load testing at two bridges" *Proc. 5<sup>th</sup> Australia-New Zealand Conf. on Geomechanics, Prediction vs. Performance*, Sydney, pp. 514-520, (1988).
46. Albiero, J. H., Sacilotto, A. C., Mantilla, J. N. Teixiera, J., and Carvalho, D., "Successive load tests on bored piles" *Proc. 10<sup>th</sup> Pan-American Conf. on Soil Mechanics and Foundation Engineering*, Vol. 2, Mexico City, pp. 992-1002, (1995).
47. Nottingham, L. C., "Use of quasi-static friction cone penetrometer data to predict load capacity of displacement piles" Ph.D. Thesis, Dept. Civil Eng., University of Florida, (1975).
48. O'Neil, M. W., "Reliability of pile capacity assessment by CPT in overconsolidated clay" *Proc. Conf. on In-Situ Tests in Geotechnical Engineering, GSP No. 6*, ASCE, Virginia, pp. 237-256, (1986).
49. URKKADA Technology Ltd., "Dynamic testing of piles and analysis, Puerto Rico", Final Report, Project 9509DH17, (1995).
50. Briaud, J. L., and Tucker, L. M., "Measured and predicted axial capacity of 98 piles" *J. Geotech. Eng.*, ASCE, Vol. 114, No. 9, pp. 984-1001, (1988).

51. Hansen, J. B., "Discussion on hyperbolic stress-strain response: Cohesive soils", *J. Soil Mech. and Found. Eng.*, ASCE, Vol. 89, pp. 241-242, (1963).
52. Fellenius, B.H., "What capacity value to choose from the results a static loading test?", Deep Foundation Institute, Fulcrum, (2001).
53. Prakash, S. and Sharma, H. D. *"Pile Foundations in Engineering Practice"*, John Wiley & Sons Inc, (1990).
54. Gunn, S. R., "Support vector machines for classification and regression", Technical Report, *University of Southampton*, (2001).
55. Smith, M., *"Neural network for statistical modeling."* Van Nostrand-Reinhold, New York; (1993).
56. Hecht-Nielson, R. *"Neurocomputing"*, Addison-Wesley, Publishing Company, Reading, MA, (1990).
57. De Ruiter, J., and Beringen, F. L., "Pile foundations for large north sea structures", *J. Marine Geotechnology*, Vol. 3, pp. 267-314, (1979).
58. Abu-Farsakh, M. Y., and Titi, H. H., "Assessment of direct cone penetration test methods for predicting the ultimate capacity of friction driven piles," *J. Geotech. and Geoenv. Eng.*, ASCE, Vol. 130, No. 9, pp. 935-944, (2004).
59. Liong, S. Y., Lim, W. H., and Paudyal, G. N., "River stage forecasting Bangladesh: neural network approach", *J. Comp. Civ. Eng.*, ASCE, Vol. 14, No. 1, pp.1-8, (2000).